

## Introducción:

Nuestro laboratorio de ensayos dispone de las instalaciones e instrumentación de medida y control necesarios para la reproducción real de las condiciones de ensayo de nuestros depósitos.

De esta forma se han obtenido los datos técnicos que se exponen a continuación, teniendo en cuenta que en una instalación real son difícilmente reproducibles las condiciones idóneas de ensayo.

El mantenimiento de temperaturas constantes en el circuito primario, la medición y mantenimiento constante de caudales y saltos térmicos estabilizados en el circuito secundario, son algunas de las dificultades por las que no es posible reproducir estos ensayos en cualquier instalación.

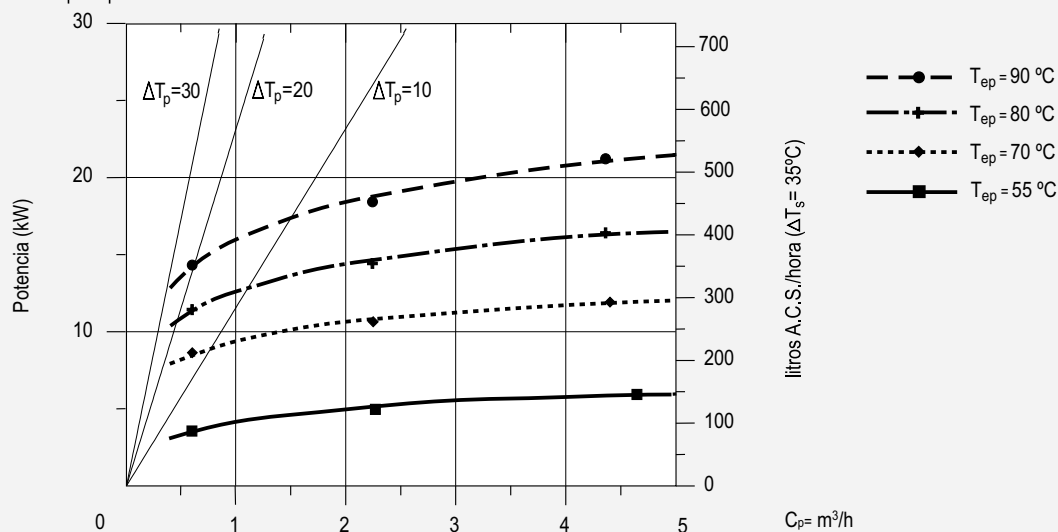
Por ello, nuestros clientes si así lo desean, pueden comprobar en nuestro laboratorio todos y cada uno de los datos que a continuación exponemos, reproduciendo las condiciones de ensayo de acuerdo a la normativa que ha sido utilizada para este fin.

Definiciones para la interpretación de los diagramas:

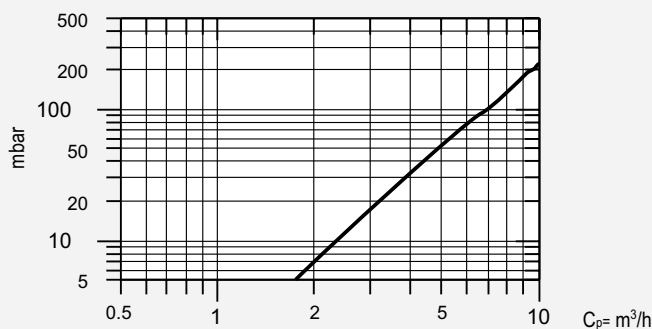
- **Potencia absorbida (P):** Potencia que es capaz de absorber el depósito a una temperatura y caudal constantes de entrada de circuito primario.
- **Caudal del circuito primario (Cp):** Caudal de agua de calentamiento impulsado por el circulador del circuito primario y medido a la salida de éste.
- **Producción de A.C.S. (Cs):** Caudal obtenido en función de una temperatura y caudal de circuito primario determinados considerando un salto térmico de 35°C entre la entrada de agua fría y la salida de A.C.S.
- **Caudal específico (Ce):** Caudal continuo, durante 10 minutos, de A.C.S. obtenido a temperatura media de 40°C con un caudal prefijado del circuito primario (s/UNE EN 625).
- **Pérdida de carga (-ΔP):** Pérdida de presión entre la entrada y la salida del circuito primario sin tener en cuenta llaves, codos o cualquier elemento añadido al depósito.
- **ΔTp:** Salto térmico en circuito primario de calentamiento.
- **ΔTs:** Salto térmico en circuito secundario.
- **Tep:** Temperatura de entrada de circuito primario de calentamiento.
- **Ts:** Temperatura de entrada de circuito secundario (agua fría).

## Modelos: GX-60-D/DEC/S

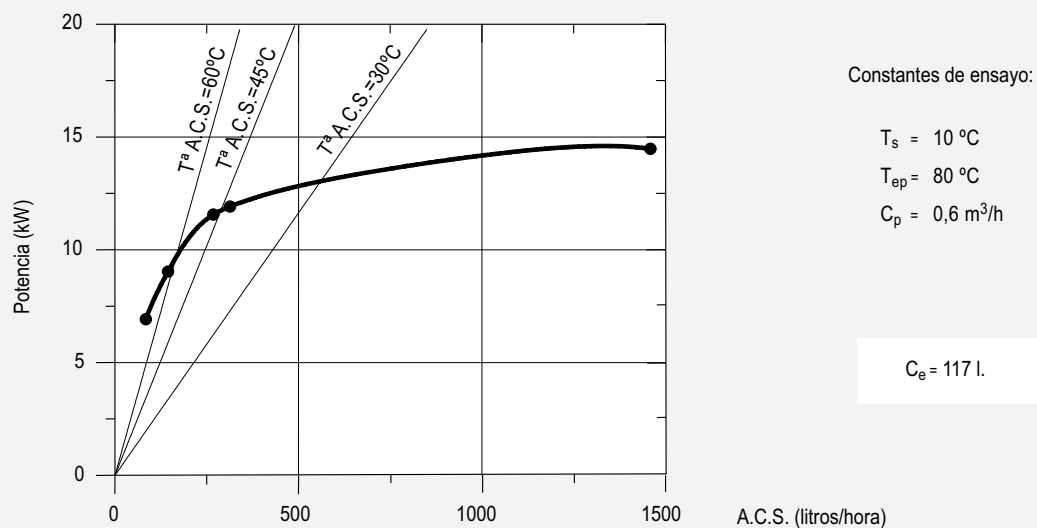
Curvas de potencia para diferentes caudales y temperaturas de circuito primario para producción de A.C.S. 10°C → 45°C.



Pérdidas de carga entre conexiones de entrada y salida de circuito primario para diferentes caudales de circulación.

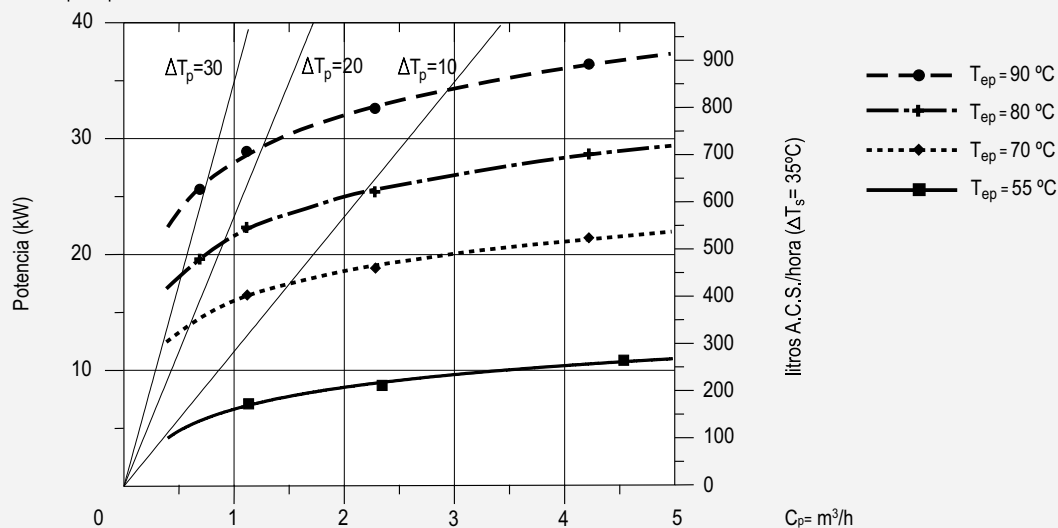


Curvas de producción continua de A.C.S. a diferentes temperaturas y caudal del circuito primario predeterminado para  $\Delta T_p = 20^\circ C$  y  $\Delta T_s = 30^\circ C$ .

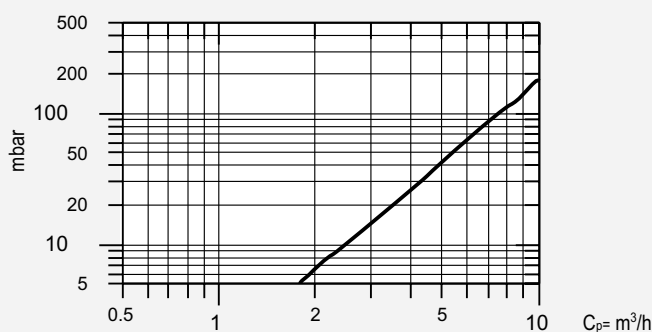


## Modelos: GX-100-D/DEC/S

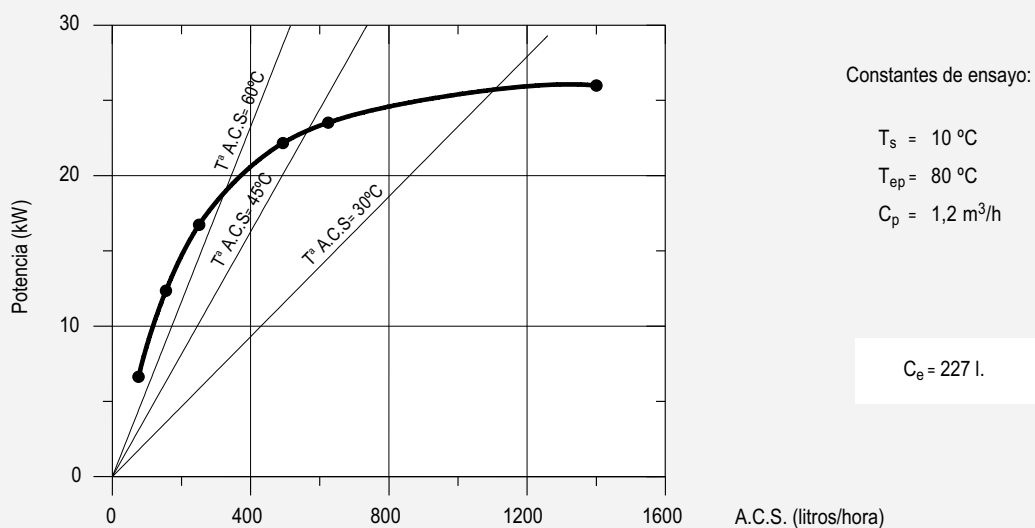
Curvas de potencia para diferentes caudales y temperaturas de circuito primario para producción de A.C.S. 10°C → 45°C.



Pérdidas de carga entre conexiones de entrada y salida de circuito primario para diferentes caudales de circulación.

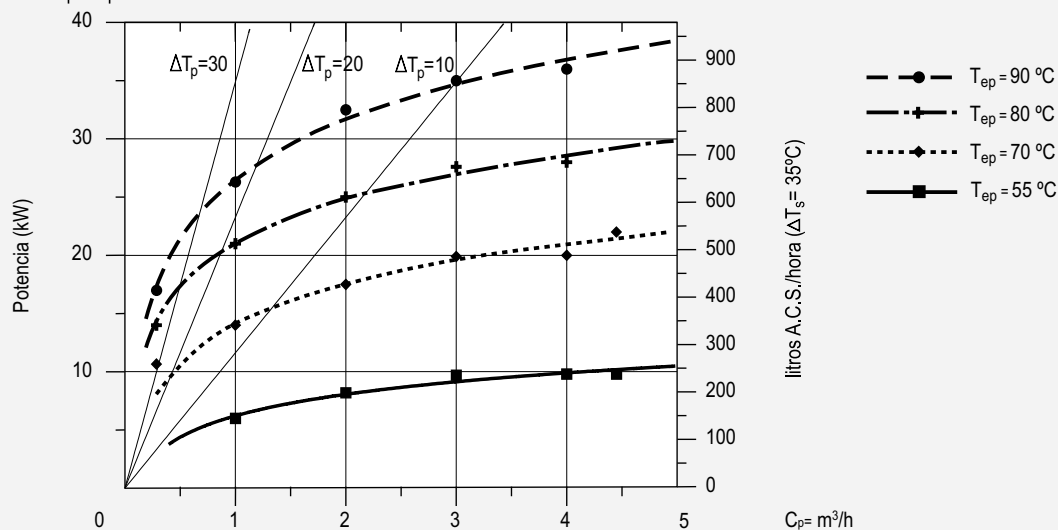


Curvas de producción continua de A.C.S. a diferentes temperaturas y caudal del circuito primario predeterminado para  $\Delta T_p = 20^\circ C$  y  $\Delta T_s = 30^\circ C$ .

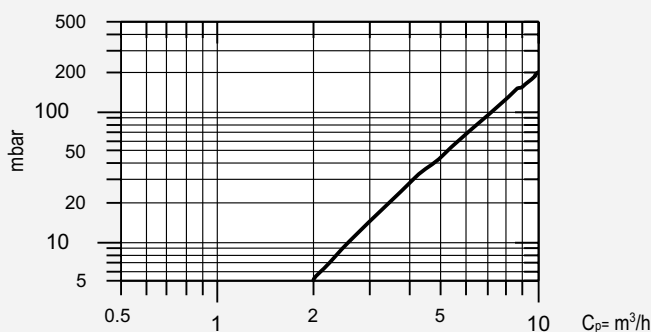


## Modelos: GX-150-D/DEC/S

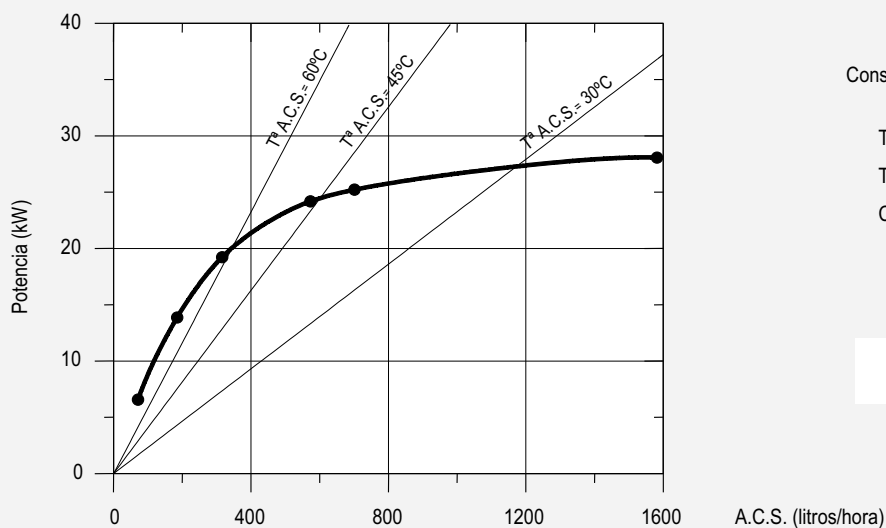
Curvas de potencia para diferentes caudales y temperaturas de circuito primario para producción de A.C.S. 10°C → 45°C.



Pérdidas de carga entre conexiones de entrada y salida de circuito primario para diferentes caudales de circulación.



Curvas de producción continua de A.C.S. a diferentes temperaturas y caudal del circuito primario predeterminado para  $\Delta T_p = 20^\circ C$  y  $\Delta T_s = 30^\circ C$ .



Constantes de ensayo:

$T_s = 10^\circ C$

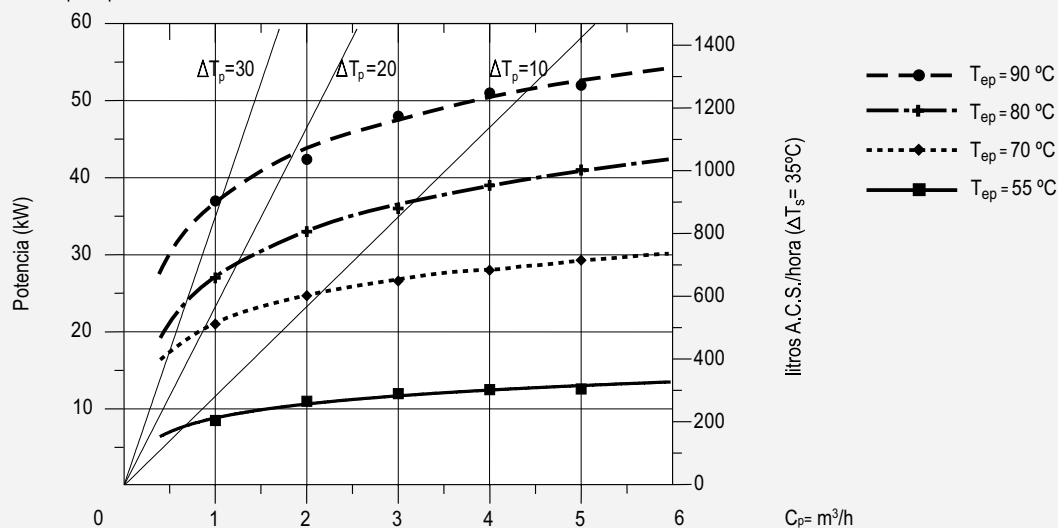
$T_{ep} = 80^\circ C$

$C_p = 1,2 m^3/h$

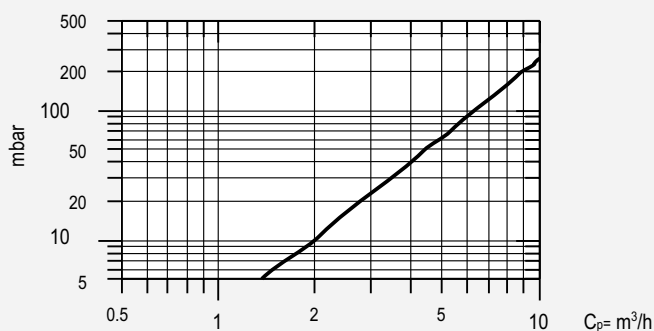
$C_e = 261$  l.

## Modelos: GX-200-D/DEC/S

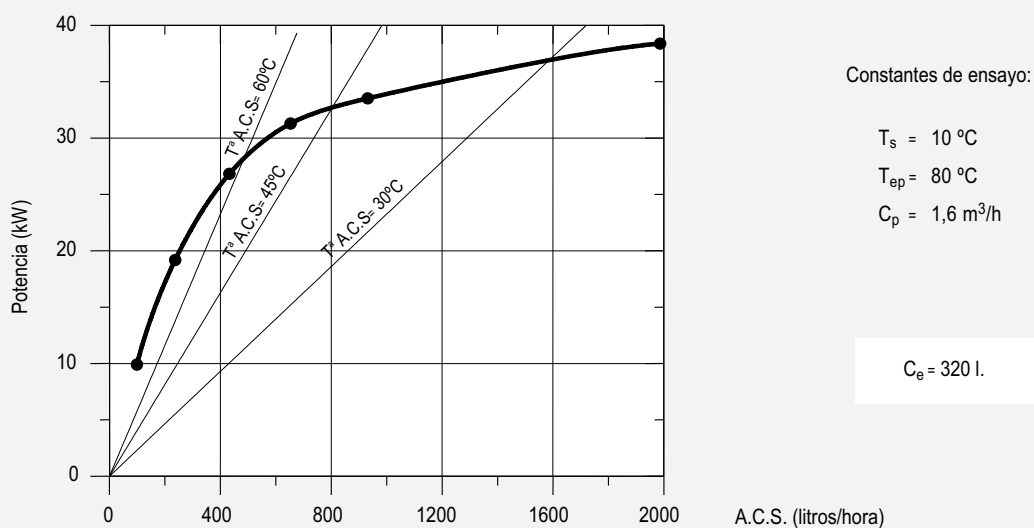
Curvas de potencia para diferentes caudales y temperaturas de circuito primario para producción de A.C.S. 10°C → 45°C.



Pérdidas de carga entre conexiones de entrada y salida de circuito primario para diferentes caudales de circulación.

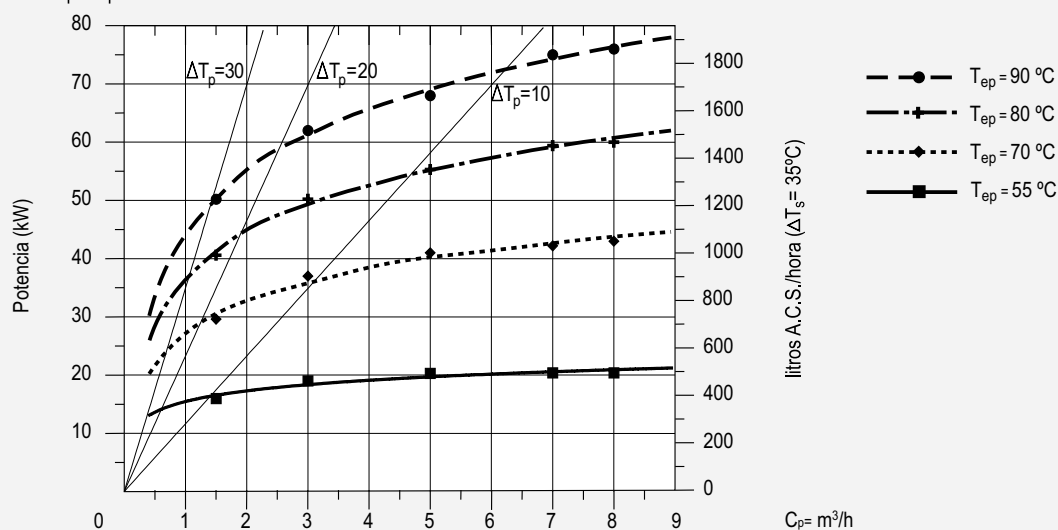


Curvas de producción continua de A.C.S. a diferentes temperaturas y caudal del circuito primario predeterminado para  $\Delta T_p = 20^\circ C$  y  $\Delta T_s = 30^\circ C$ .

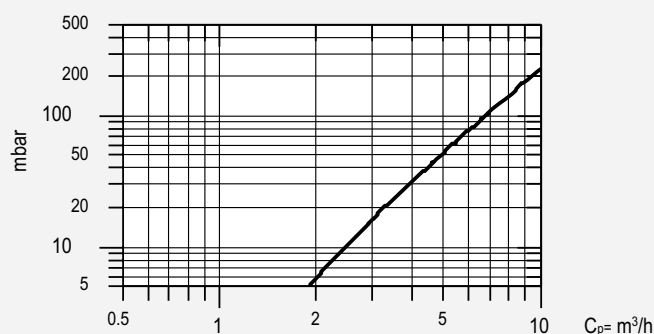


## Modelos: GX-300-D/DEC/S

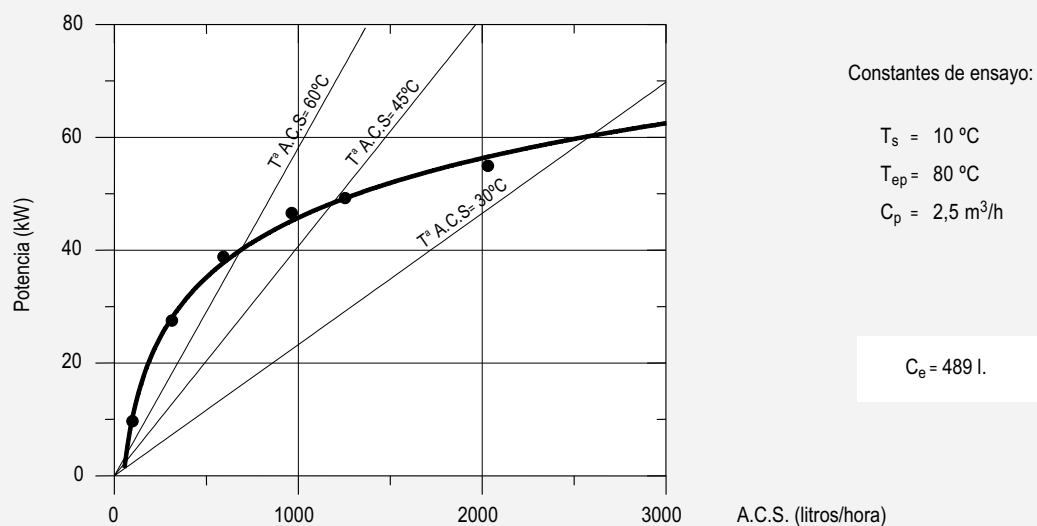
Curvas de potencia para diferentes caudales y temperaturas de circuito primario para producción de A.C.S. 10°C → 45°C.



Pérdidas de carga entre conexiones de entrada y salida de circuito primario para diferentes caudales de circulación.

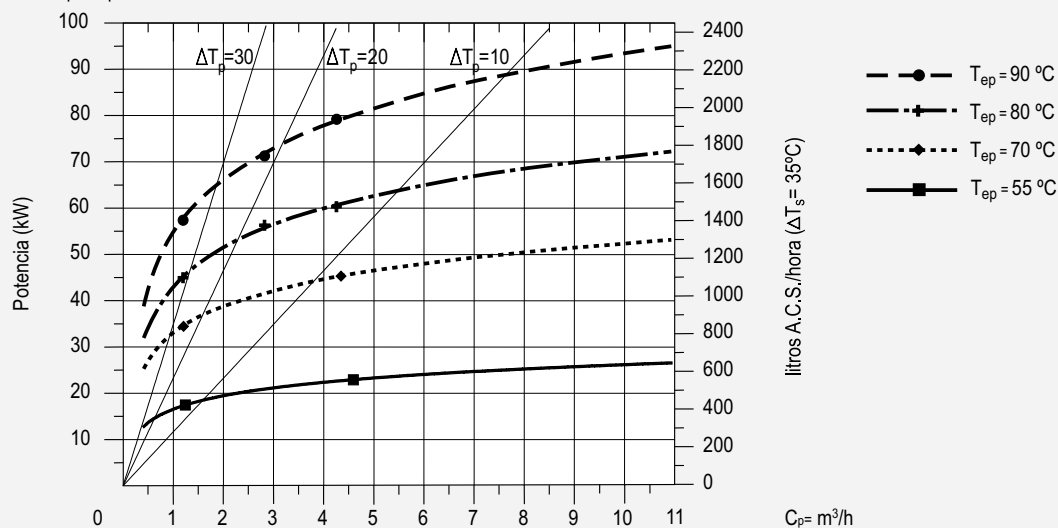


Curvas de producción continua de A.C.S. a diferentes temperaturas y caudal del circuito primario predeterminado para ΔT<sub>p</sub> = 20°C y ΔT<sub>s</sub> = 30°C.

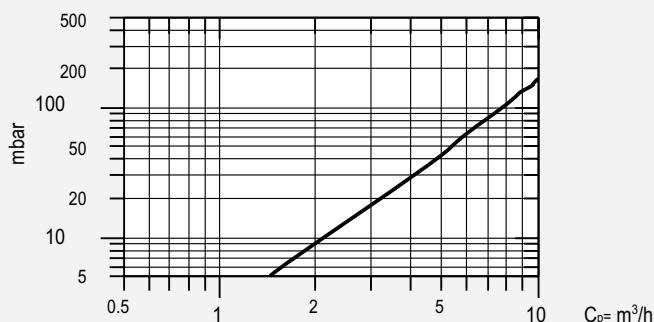


## Modelos: GX-500-D/DEC/S

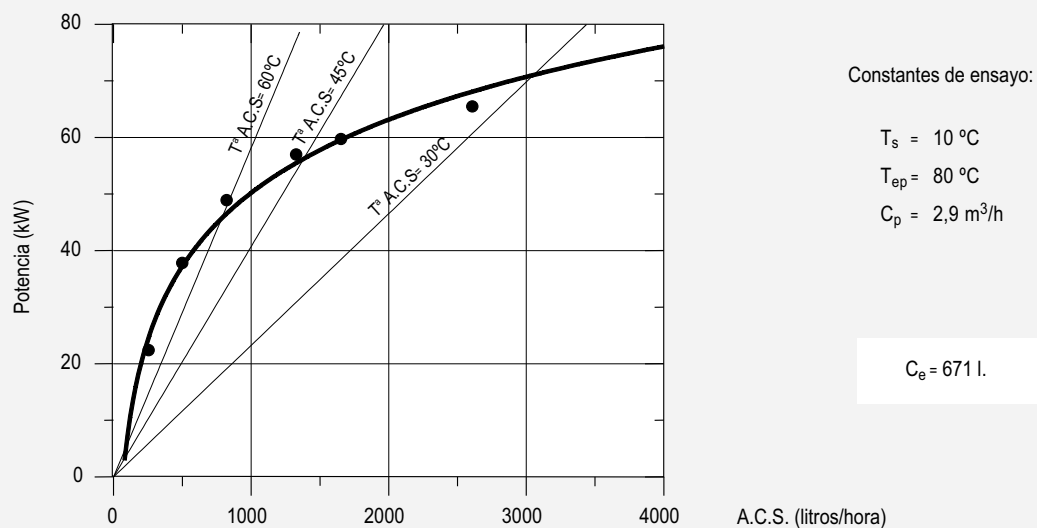
Curvas de potencia para diferentes caudales y temperaturas de circuito primario para producción de A.C.S. 10°C → 45°C.



Pérdidas de carga entre conexiones de entrada y salida de circuito primario para diferentes caudales de circulación.

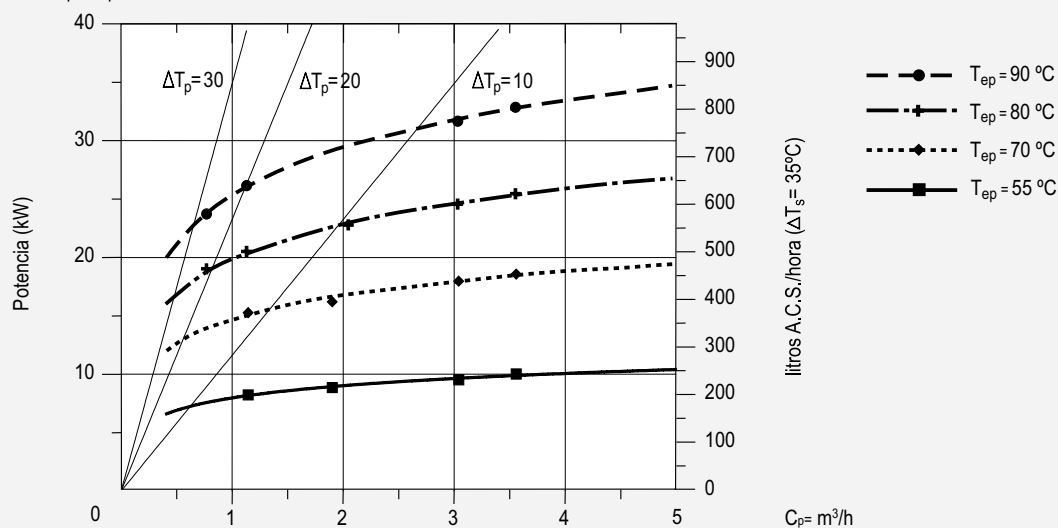


Curvas de producción continua de A.C.S. a diferentes temperaturas y caudal del circuito primario predeterminado para  $\Delta T_p = 20^\circ C$  y  $\Delta T_s = 30^\circ C$ .

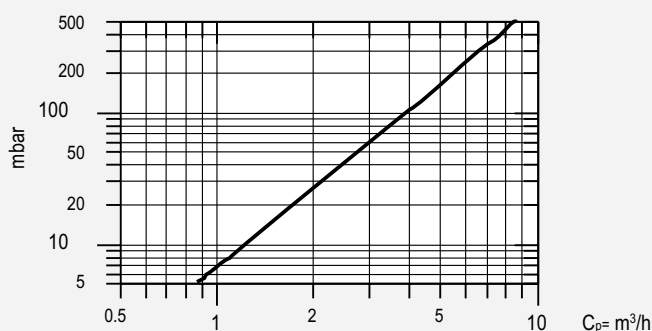


## Modelos: GX-150-TS

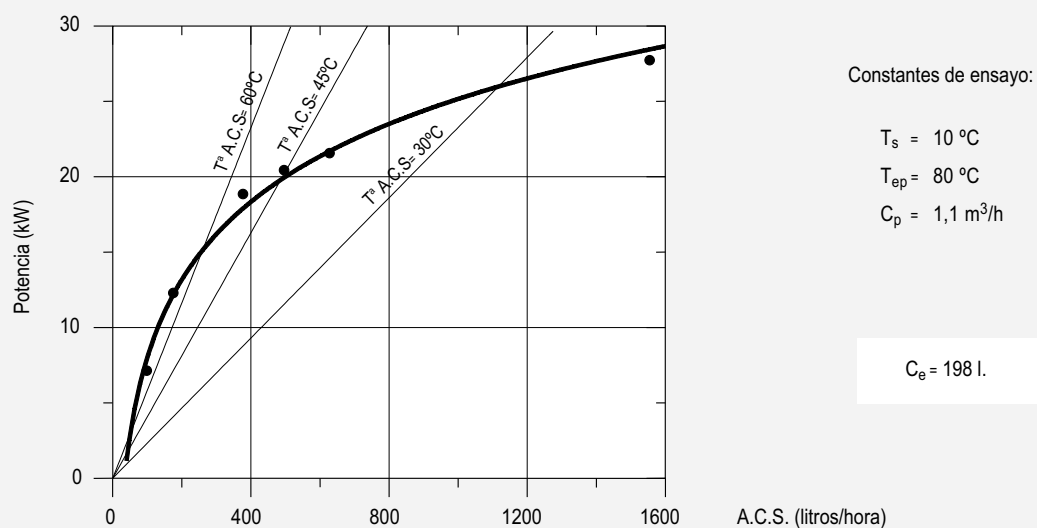
Curvas de potencia para diferentes caudales y temperaturas de circuito primario para producción de A.C.S. 10°C → 45°C.



Pérdidas de carga entre conexiones de entrada y salida de circuito primario para diferentes caudales de circulación.



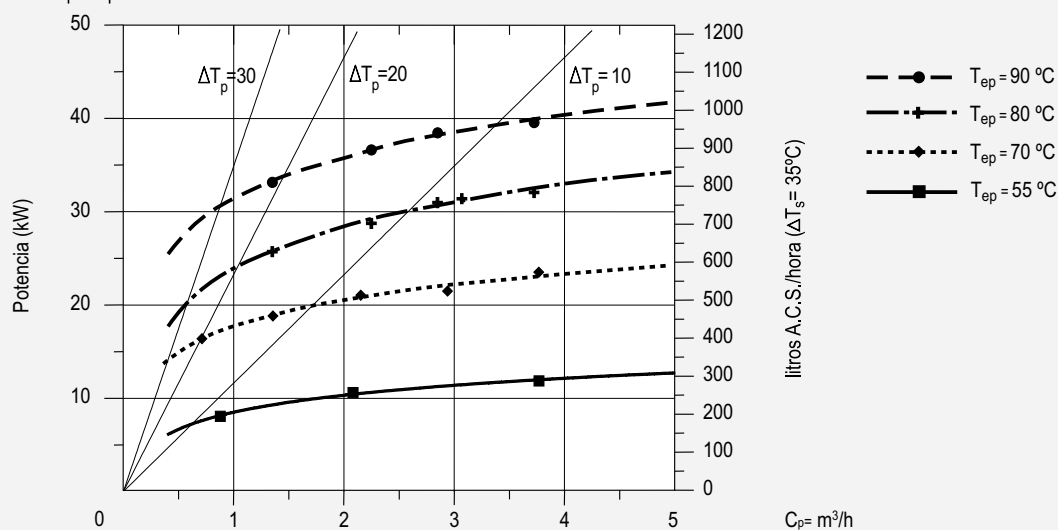
Curvas de producción continua de A.C.S. a diferentes temperaturas y caudal del circuito primario predeterminado para ΔT<sub>p</sub> = 20°C y ΔT<sub>s</sub> = 30°C.



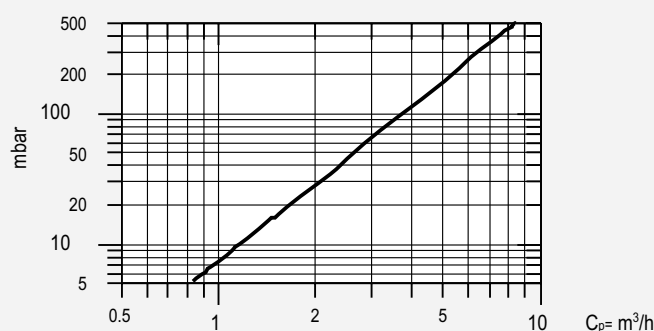


## Modelos: GX-200-TS

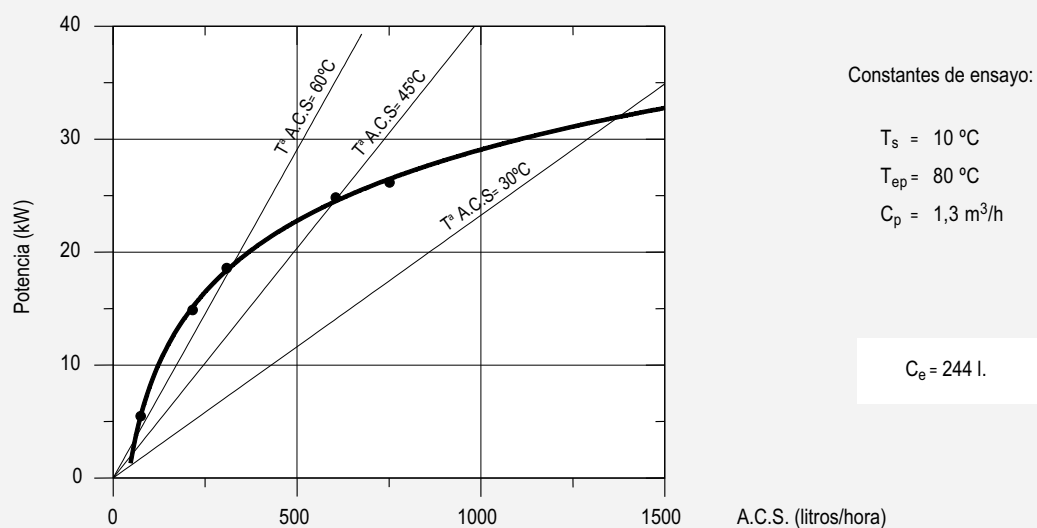
Curvas de potencia para diferentes caudales y temperaturas de circuito primario para producción de A.C.S. 10°C → 45°C.



Pérdidas de carga entre conexiones de entrada y salida de circuito primario para diferentes caudales de circulación.

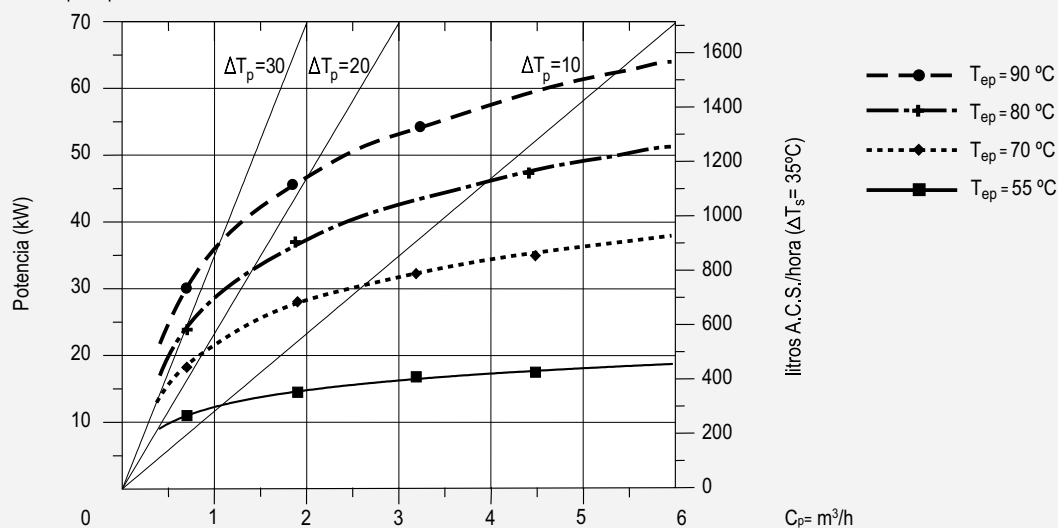


Curvas de producción continua de A.C.S. a diferentes temperaturas y caudal del circuito primario predeterminado para  $\Delta T_p = 20^\circ C$  y  $\Delta T_s = 30^\circ C$ .

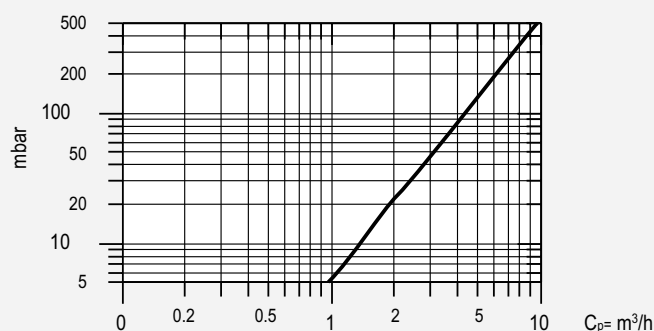


## Modelos: GX-200-M1

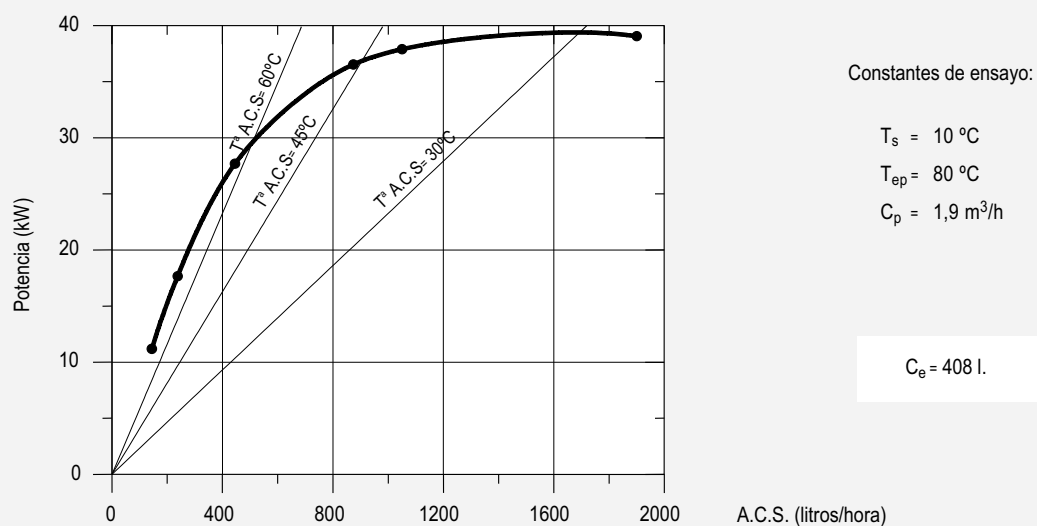
Curvas de potencia para diferentes caudales y temperaturas de circuito primario para producción de A.C.S. 10°C → 45°C.



Pérdidas de carga entre conexiones de entrada y salida de circuito primario para diferentes caudales de circulación.

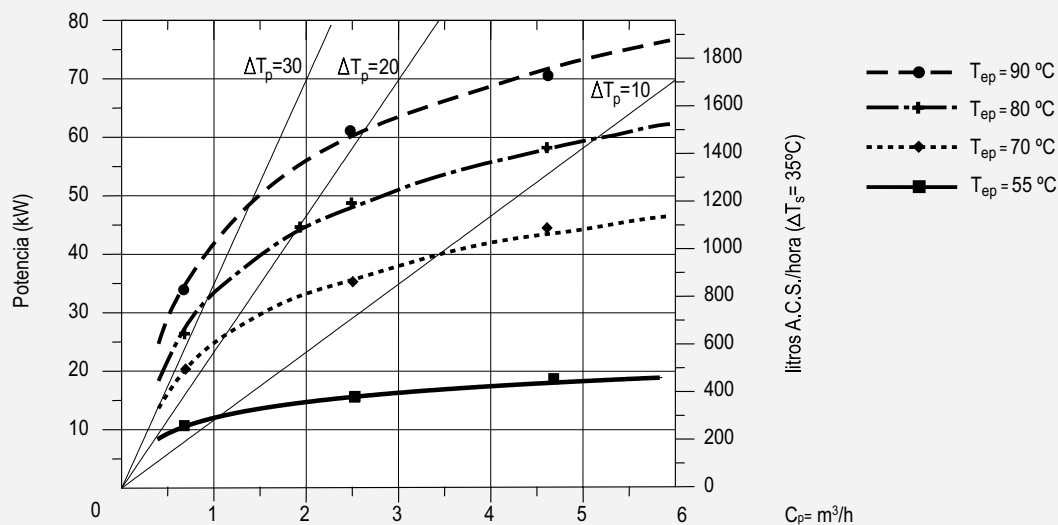


Curvas de producción continua de A.C.S. a diferentes temperaturas y caudal del circuito primario predeterminado para  $\Delta T_p = 20^\circ C$  y  $\Delta T_s = 30^\circ C$ .

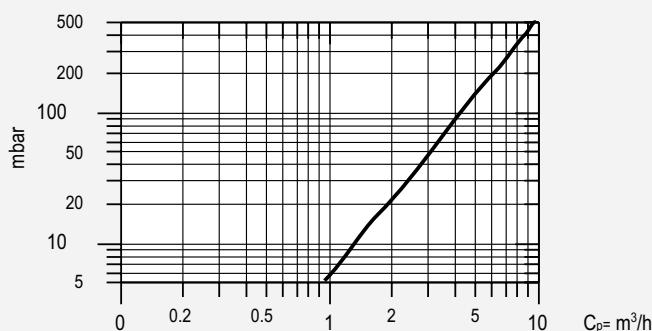


## Modelos: GX-300-M1 y serpentín inferior de GX-300-M2

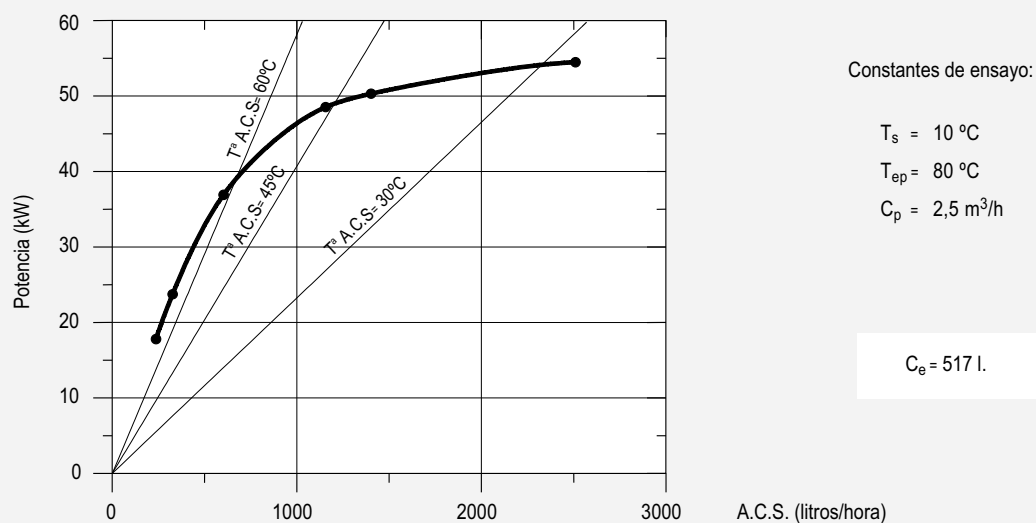
Curvas de potencia para diferentes caudales y temperaturas de circuito primario para producción de A.C.S. 10°C → 45°C.



Pérdidas de carga entre conexiones de entrada y salida de circuito primario para diferentes caudales de circulación.

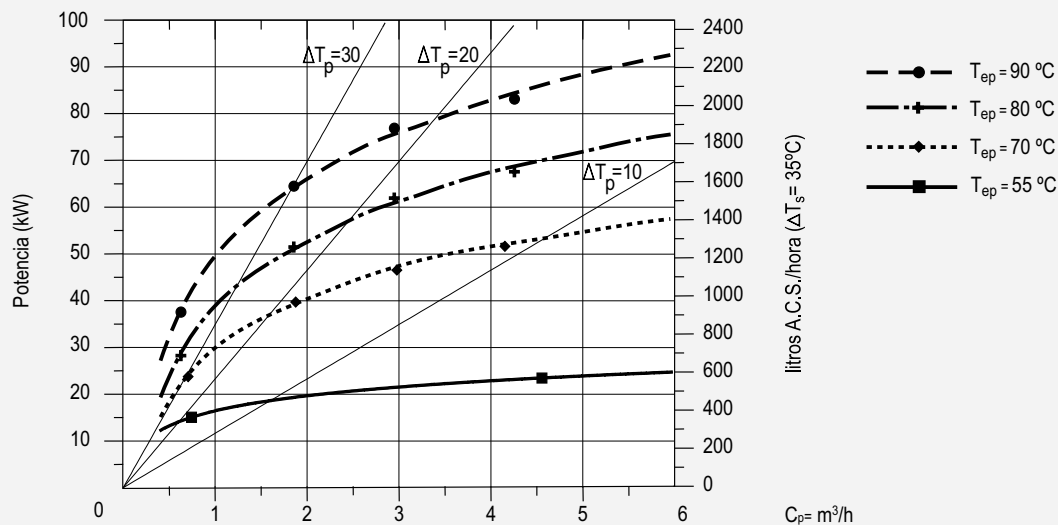


Curvas de producción continua de A.C.S. a diferentes temperaturas y caudal del circuito primario predeterminado para  $\Delta T_p = 20^\circ C$  y  $\Delta T_s = 30^\circ C$ .

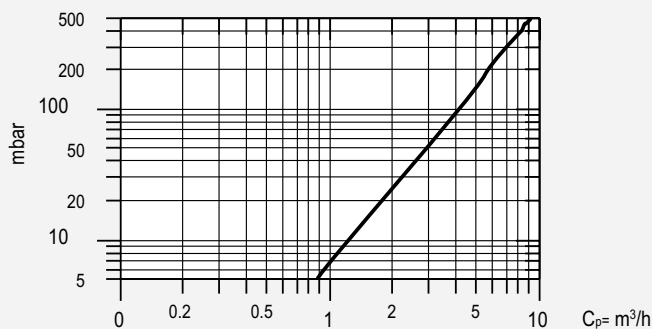


## Modelos: GX-500-M1, serpentín inferior de GX-500-M2 y GX-400-M2

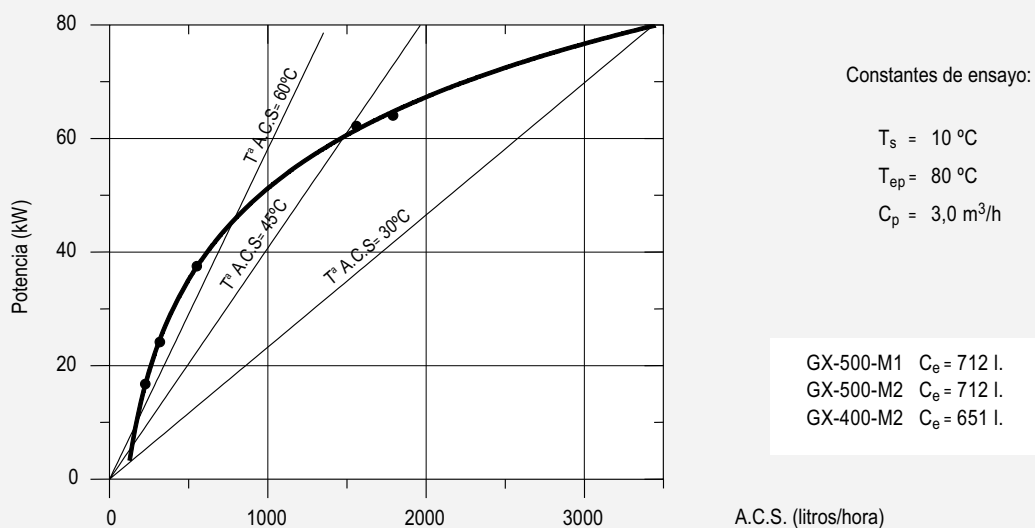
Curvas de potencia para diferentes caudales y temperaturas de circuito primario para producción de A.C.S. 10°C → 45°C.



Pérdidas de carga entre conexiones de entrada y salida de circuito primario para diferentes caudales de circulación.

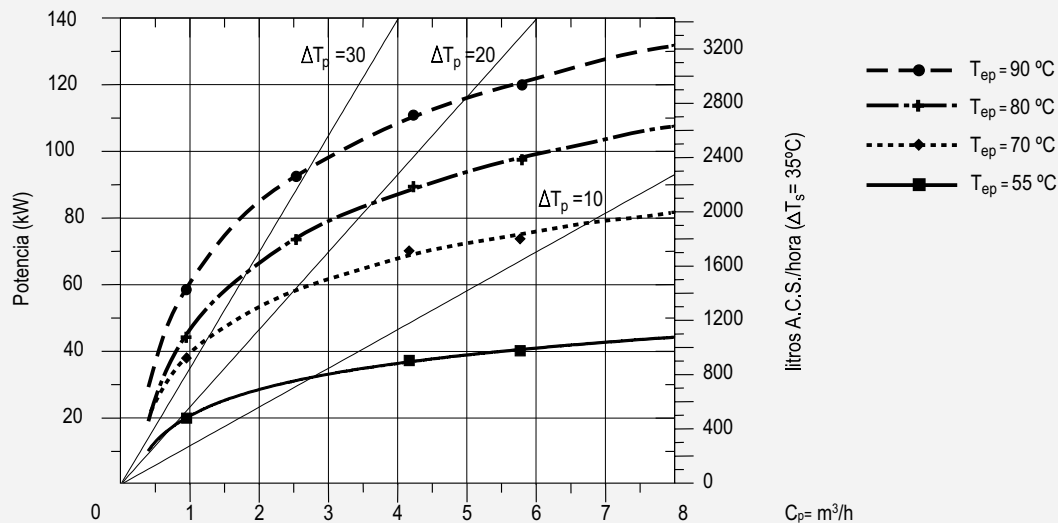


Curvas de producción continua de A.C.S. a diferentes temperaturas y caudal del circuito primario predeterminado para  $\Delta T_p = 20^\circ\text{C}$  y  $\Delta T_s = 30^\circ\text{C}$ .

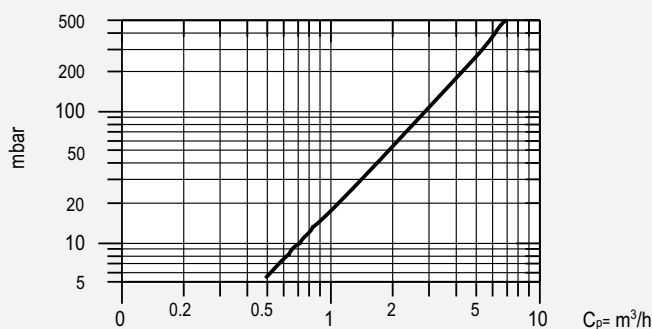


## Modelos: GX-750-M1, GX-800-M1B y serpentín inferior de GX-750-M2 y GX-800-M2B

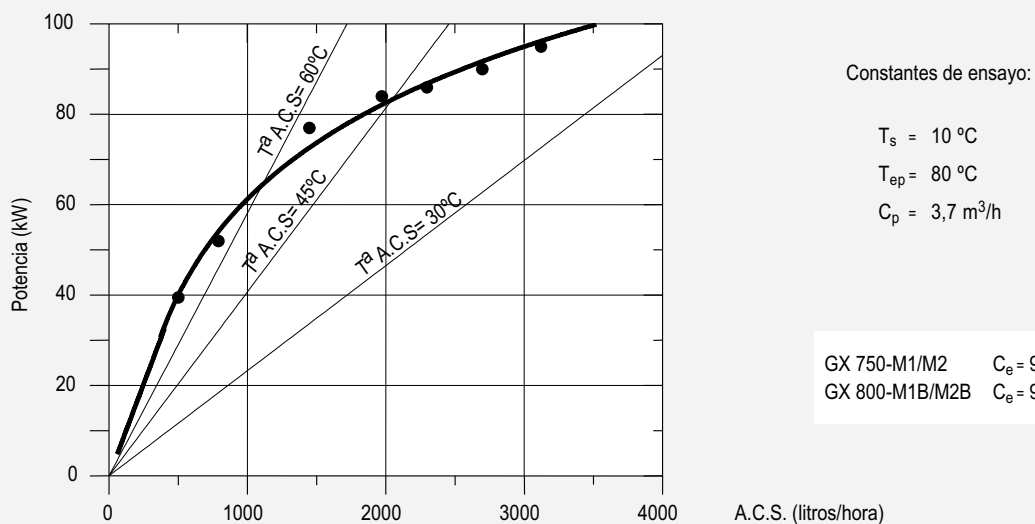
Curvas de potencia para diferentes caudales y temperaturas de circuito primario para producción de A.C.S. 10°C → 45°C.



Pérdidas de carga entre conexiones de entrada y salida de circuito primario para diferentes caudales de circulación.

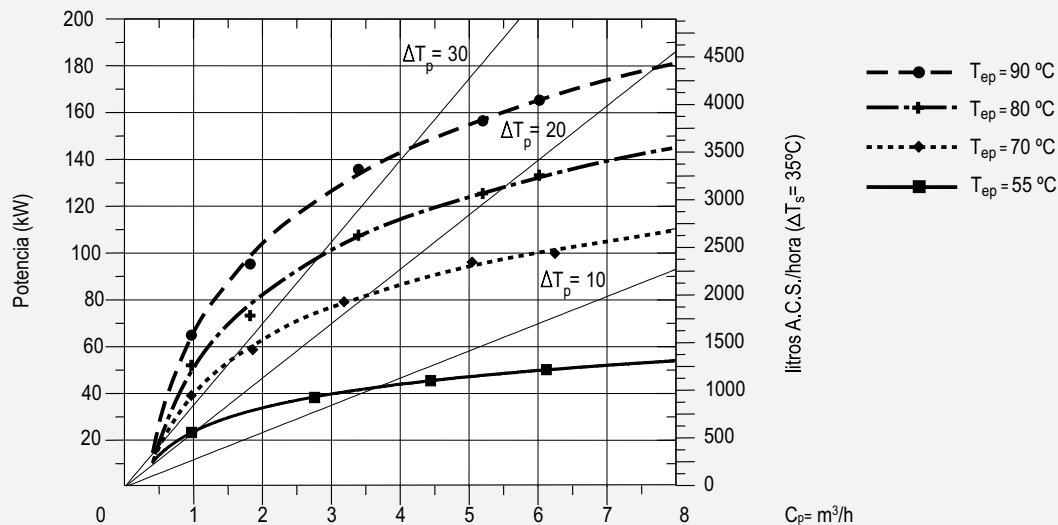


Curvas de producción continua de A.C.S. a diferentes temperaturas y caudal del circuito primario predeterminado para  $\Delta T_p = 20^\circ\text{C}$  y  $\Delta T_s = 30^\circ\text{C}$ .

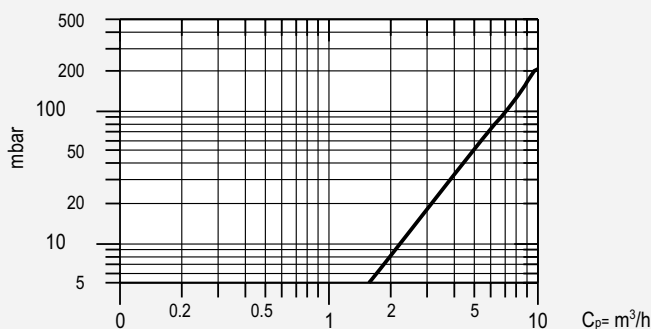


## Modelos: GX-1000-M1/ M1B y serpentín inferior de GX-1000-M2/ M2B

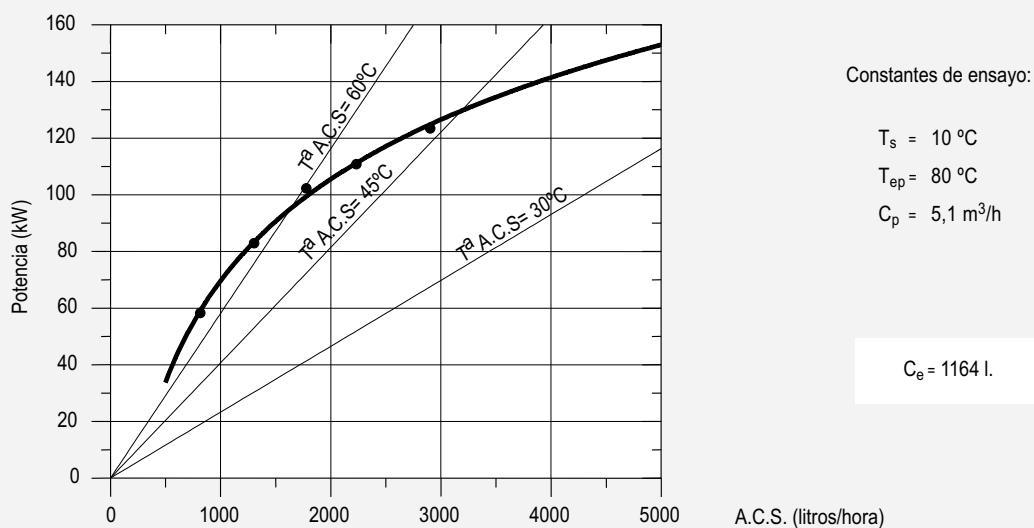
Curvas de potencia para diferentes caudales y temperaturas de circuito primario para producción de A.C.S. 10°C → 45°C.



Pérdidas de carga entre conexiones de entrada y salida de circuito primario para diferentes caudales de circulación.

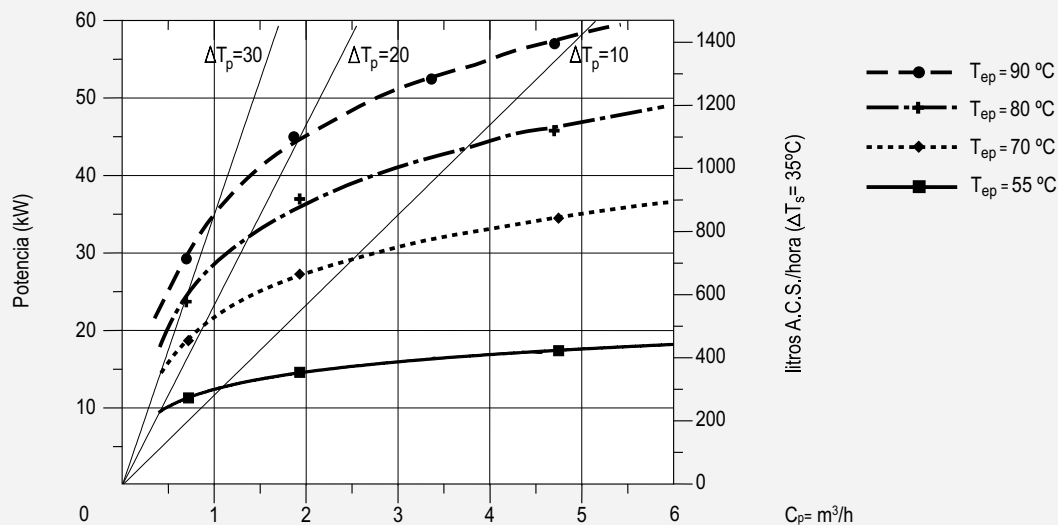


Curvas de producción continua de A.C.S. a diferentes temperaturas y caudal del circuito primario predeterminado para  $\Delta T_p = 20^\circ C$  y  $\Delta T_s = 30^\circ C$ .

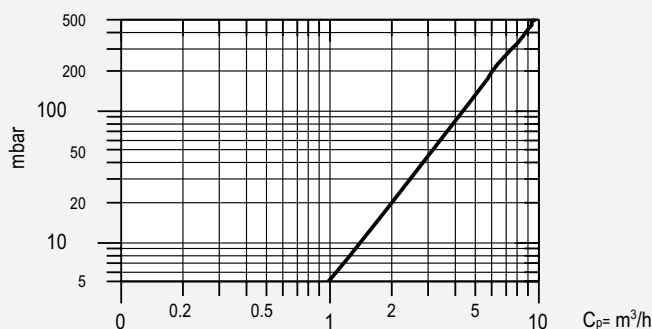


## Modelos: Serpentin superior de GX-300-M2

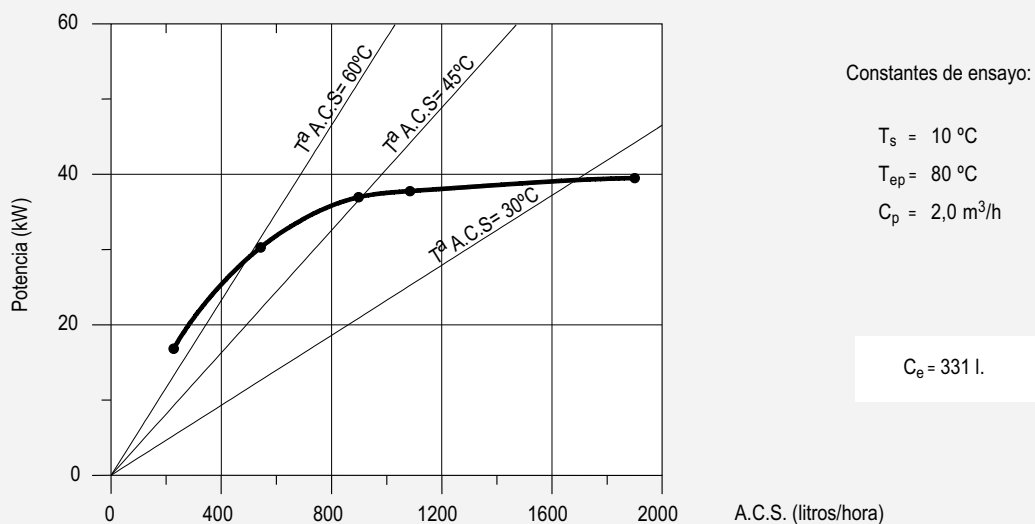
Curvas de potencia para diferentes caudales y temperaturas de circuito primario para producción de A.C.S. 10°C → 45°C.



Pérdidas de carga entre conexiones de entrada y salida de circuito primario para diferentes caudales de circulación.

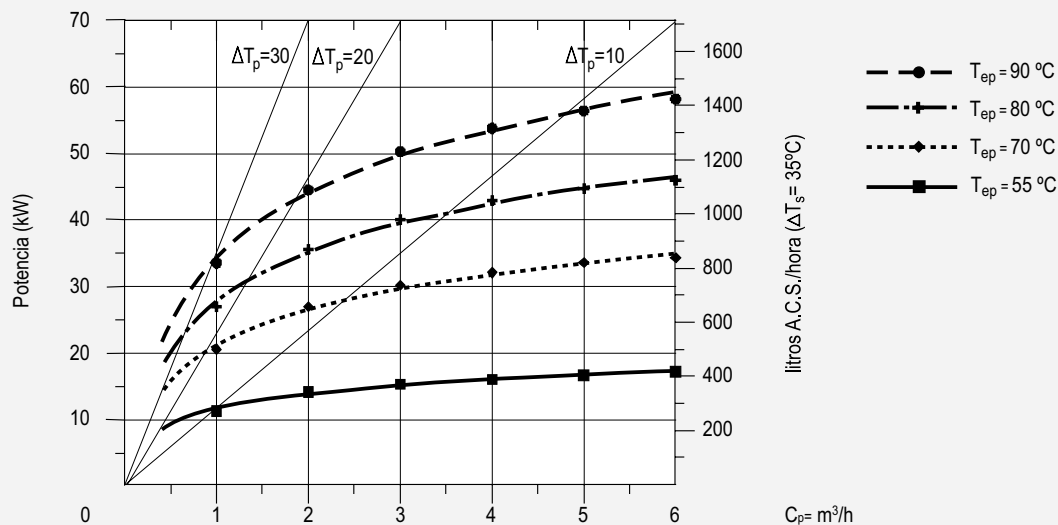


Curvas de producción continua de A.C.S. a diferentes temperaturas y caudal del circuito primario predeterminado para  $\Delta T_p = 20^\circ\text{C}$  y  $\Delta T_s = 30^\circ\text{C}$ .

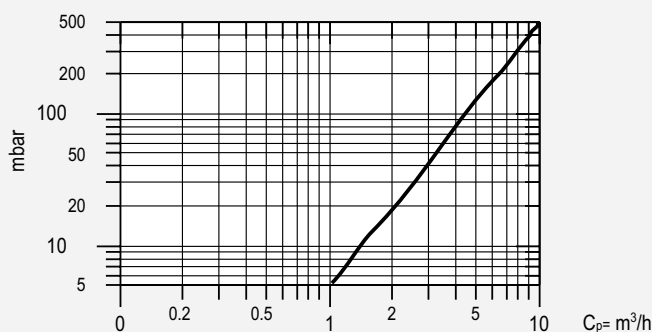


## Modelos: Serpentin superior de GX-400-M2

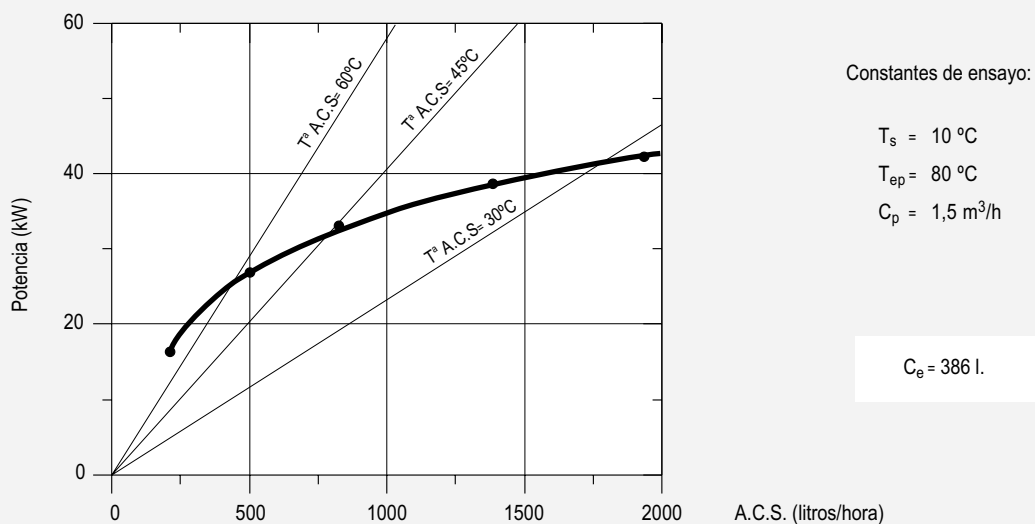
Curvas de potencia para diferentes caudales y temperaturas de circuito primario para producción de A.C.S. 10°C → 45°C.



Pérdidas de carga entre conexiones de entrada y salida de circuito primario para diferentes caudales de circulación.



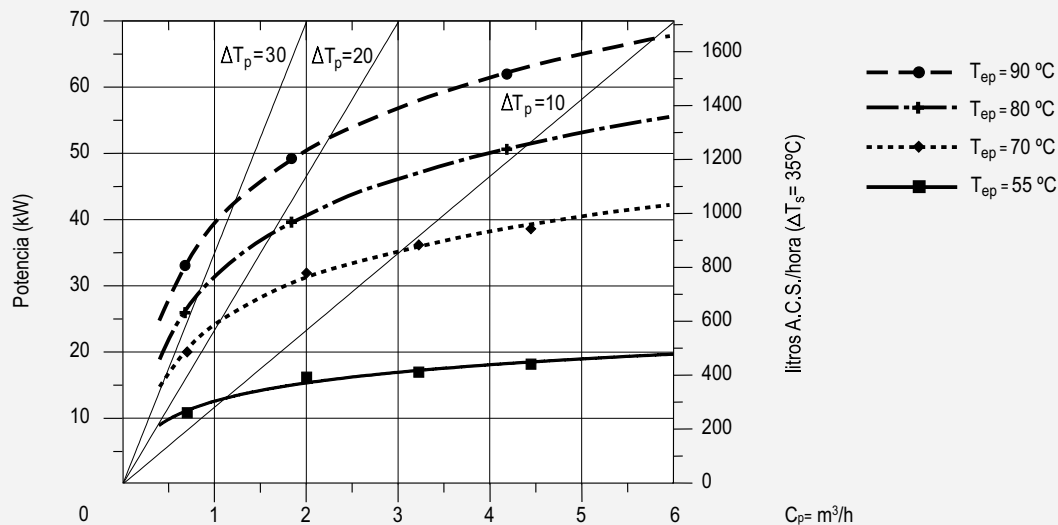
Curvas de producción continua de A.C.S. a diferentes temperaturas y caudal del circuito primario predeterminado para  $\Delta T_p = 20^\circ C$  y  $\Delta T_s = 30^\circ C$ .



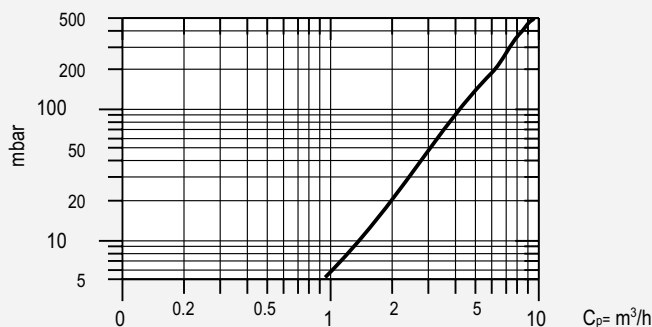


## Modelos: Serpentin superior de GX-500-M2 GX-750-M2, GX-800-M2B y GX-1000-M2 /M2B

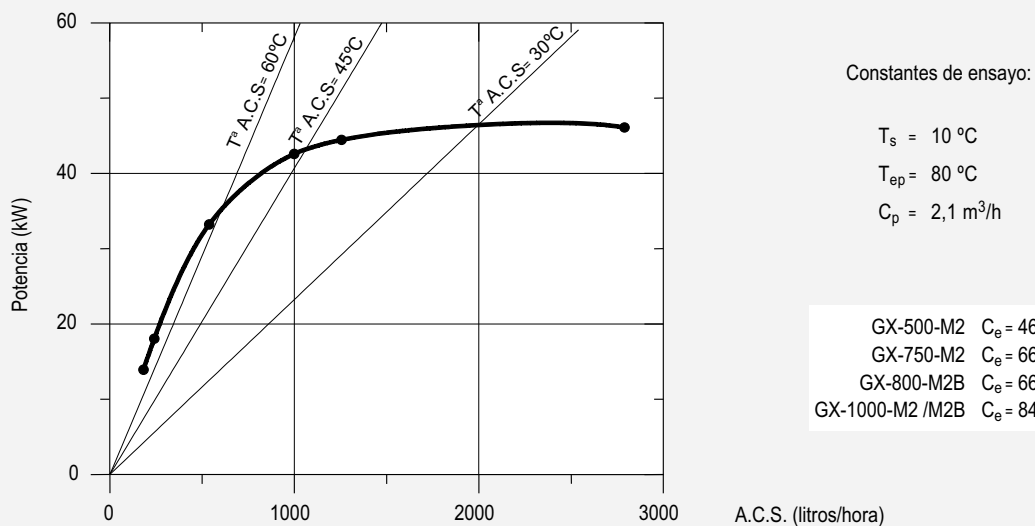
Curvas de potencia para diferentes caudales y temperaturas de circuito primario para producción de A.C.S. 10°C → 45°C.



Pérdidas de carga entre conexiones de entrada y salida de circuito primario para diferentes caudales de circulación.

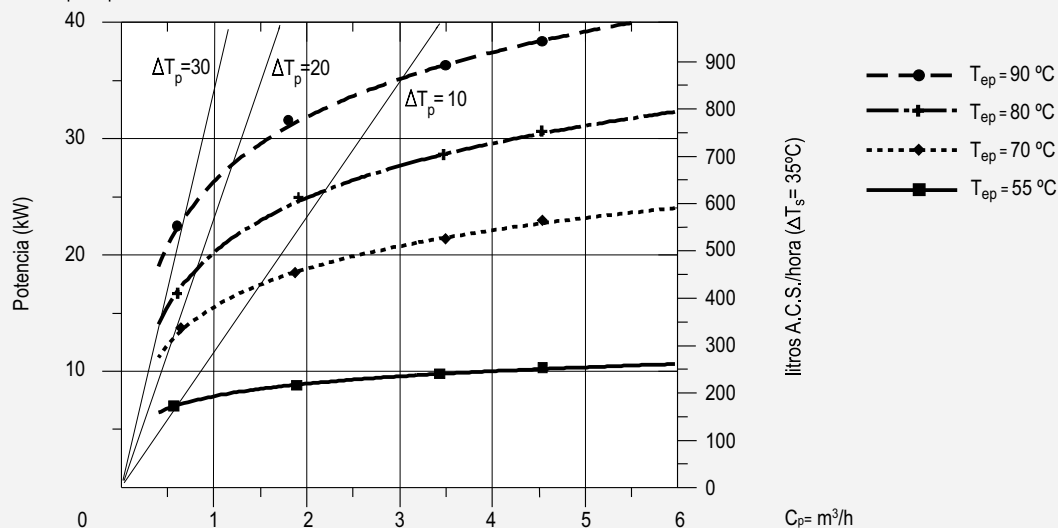


Curvas de producción continua de A.C.S. a diferentes temperaturas y caudal del circuito primario predeterminado para  $\Delta T_p = 20^\circ\text{C}$  y  $\Delta T_s = 30^\circ\text{C}$ .

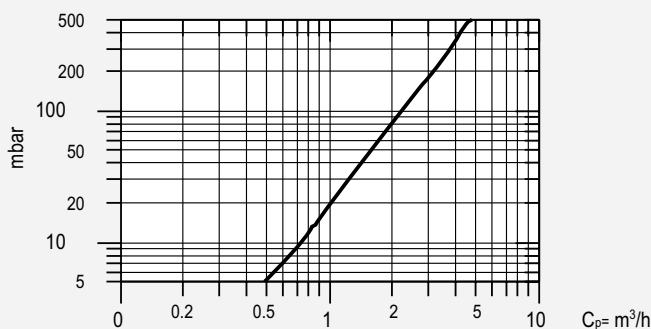


## Modelos: GX-150-TSM

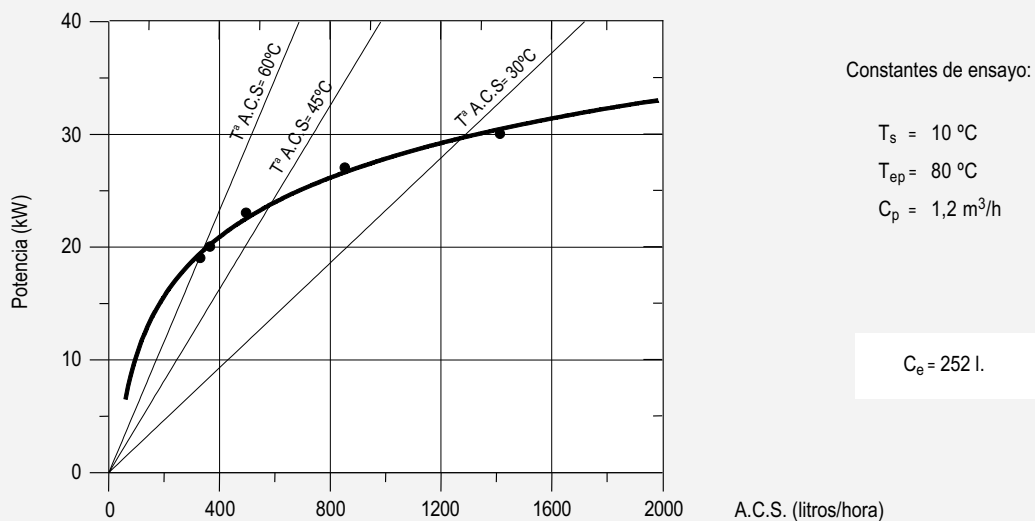
Curvas de potencia para diferentes caudales y temperaturas de circuito primario para producción de A.C.S. 10°C → 45°C.



Pérdidas de carga entre conexiones de entrada y salida de circuito primario para diferentes caudales de circulación.

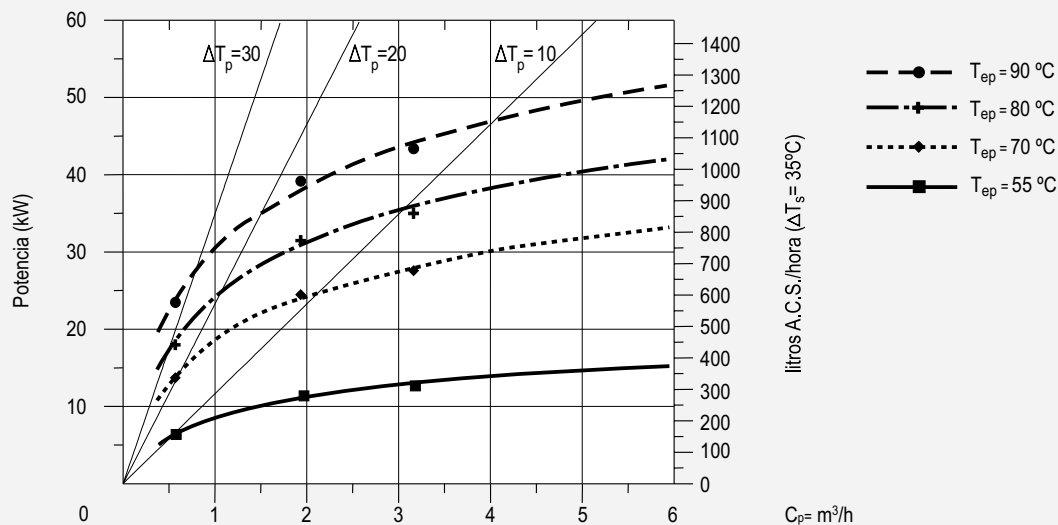


Curvas de producción continua de A.C.S. a diferentes temperaturas y caudal del circuito primario predeterminado para  $\Delta T_p = 20^{\circ}\text{C}$  y  $\Delta T_s = 30^{\circ}\text{C}$ .

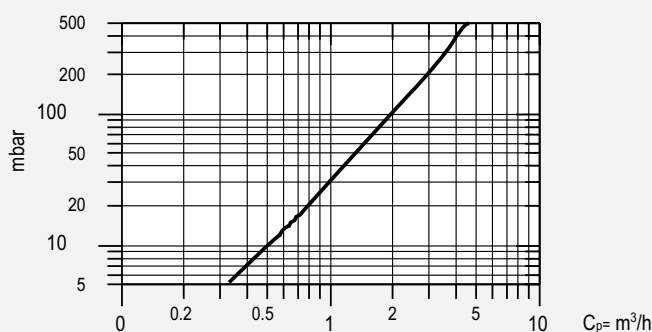


## Modelos: GX-200-TSM

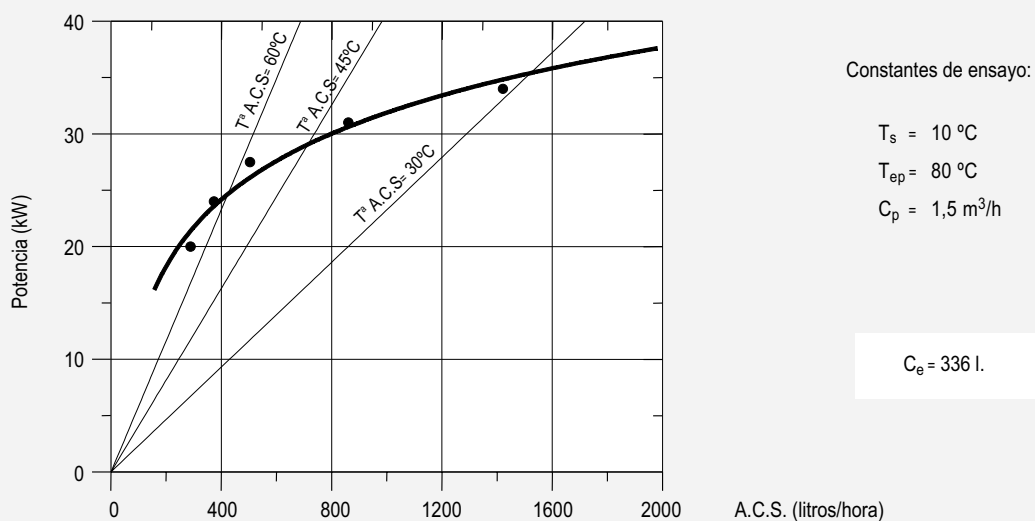
Curvas de potencia para diferentes caudales y temperaturas de circuito primario para producción de A.C.S. 10°C → 45°C.



Pérdidas de carga entre conexiones de entrada y salida de circuito primario para diferentes caudales de circulación.

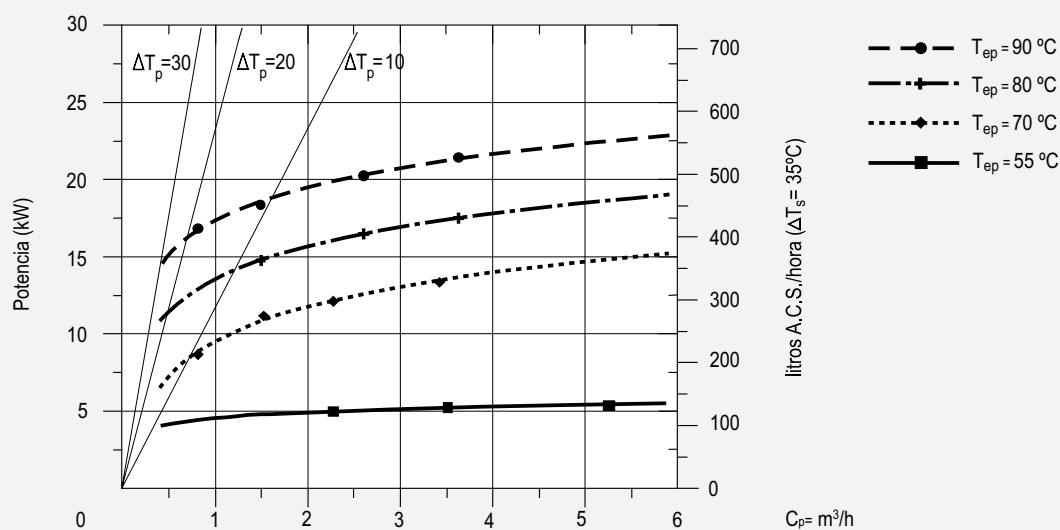


Curvas de producción continua de A.C.S. a diferentes temperaturas y caudal del circuito primario predeterminado para  $\Delta T_p = 20^\circ\text{C}$  y  $\Delta T_s = 30^\circ\text{C}$ .

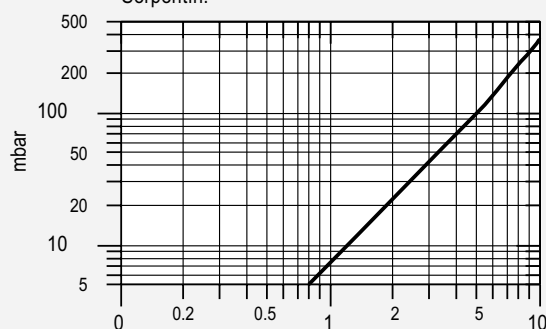


## Modelos: GX-600-P

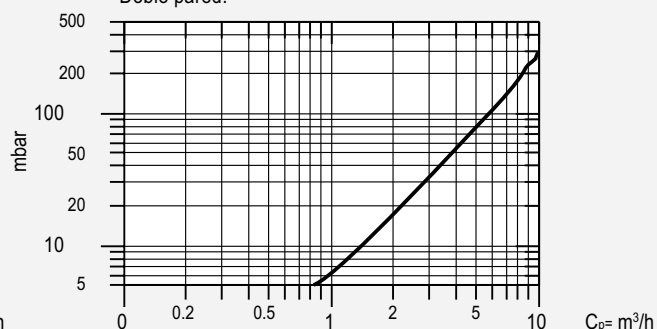
Curvas de potencia para diferentes caudales y temperaturas de circuito primario para producción de A.C.S. 10°C → 45°C. (Serpentín)



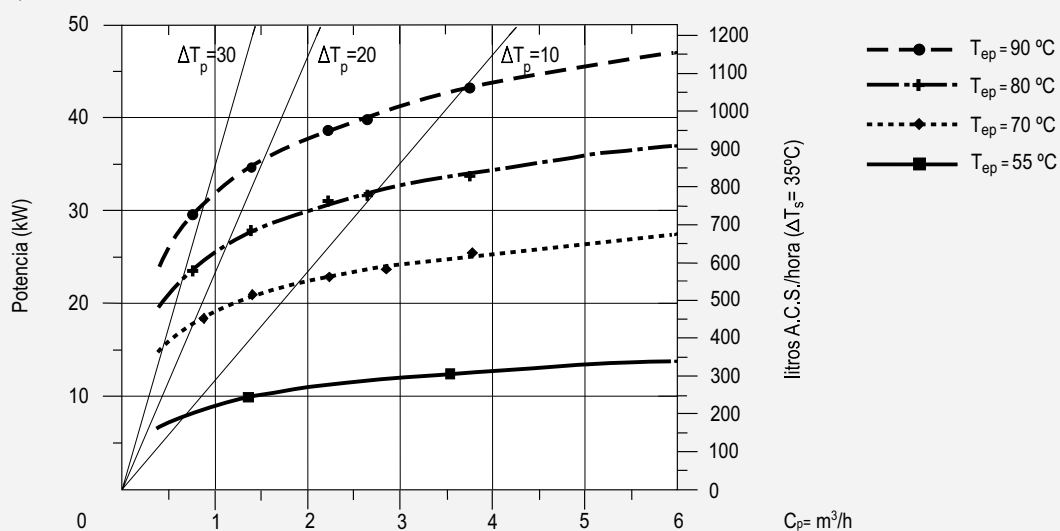
Pérdidas de carga entre conexiones de entrada y salida de circuito primario para diferentes caudales de circulación. Serpentin:



Doble pared:

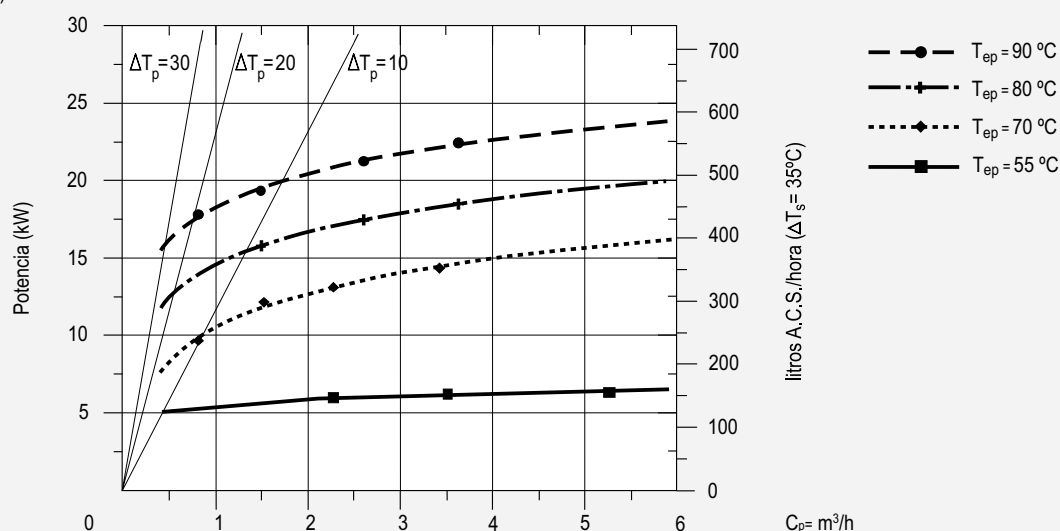


Curvas de potencia para diferentes caudales y temperaturas de circuito primario para producción de A.C.S. 10°C → 45°C. (Doble pared)

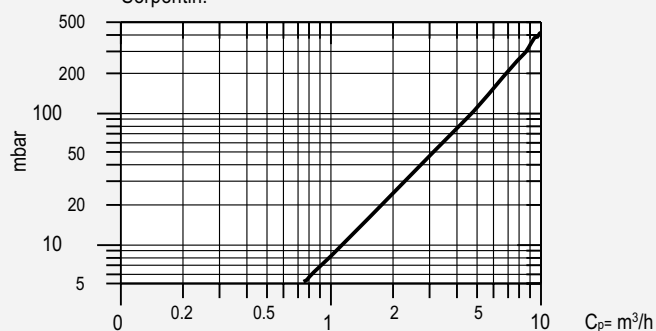


## Modelos: GX-800-P

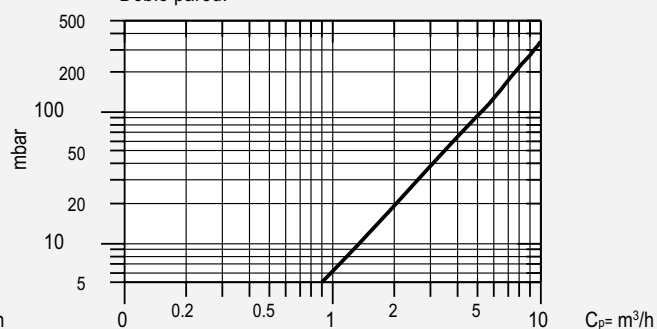
Curvas de potencia para diferentes caudales y temperaturas de circuito primario para producción de A.C.S. 10°C → 45°C. (Serpentín)



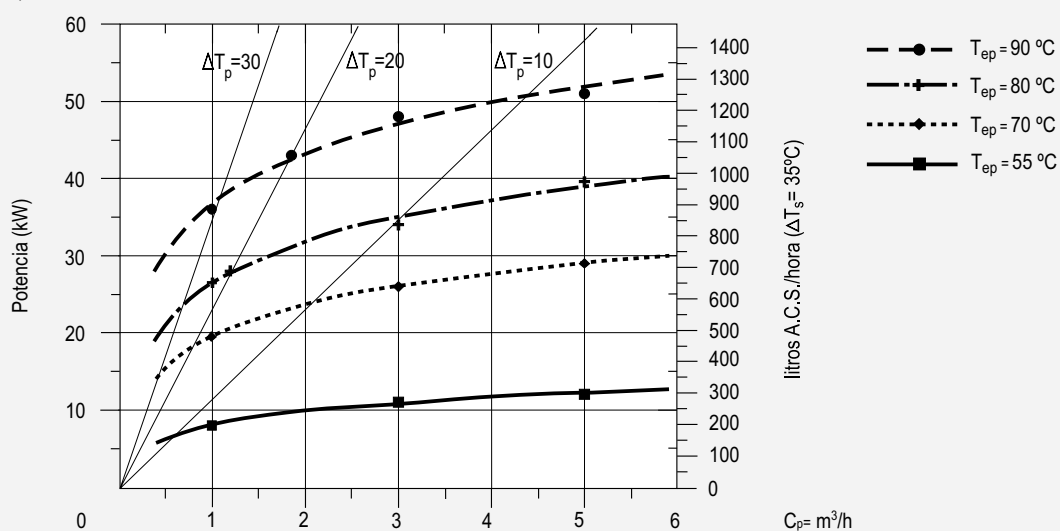
Pérdidas de carga entre conexiones de entrada y salida de circuito primario para diferentes caudales de circulación. Serpentin:



Doble pared:

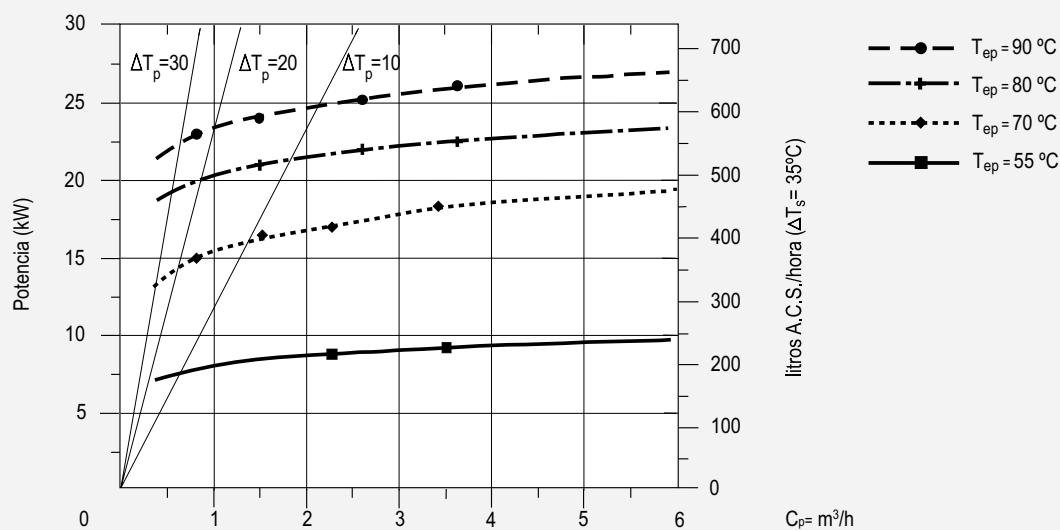


Curvas de potencia para diferentes caudales y temperaturas de circuito primario para producción de A.C.S. 10°C → 45°C. (Doble pared)

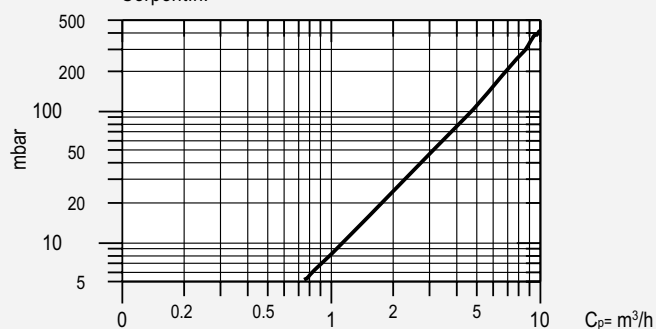


## Modelos: GX-1000-P

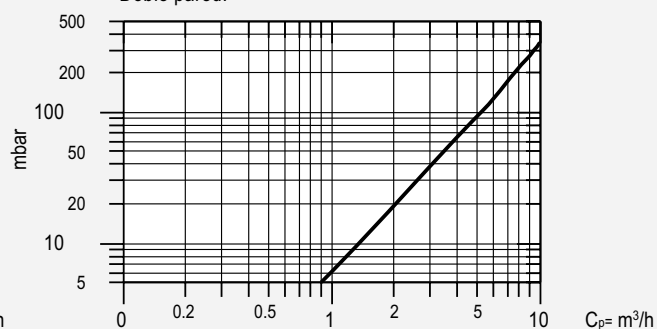
Curvas de potencia para diferentes caudales y temperaturas de circuito primario para producción de A.C.S. 10°C → 45°C. (Serpentín)



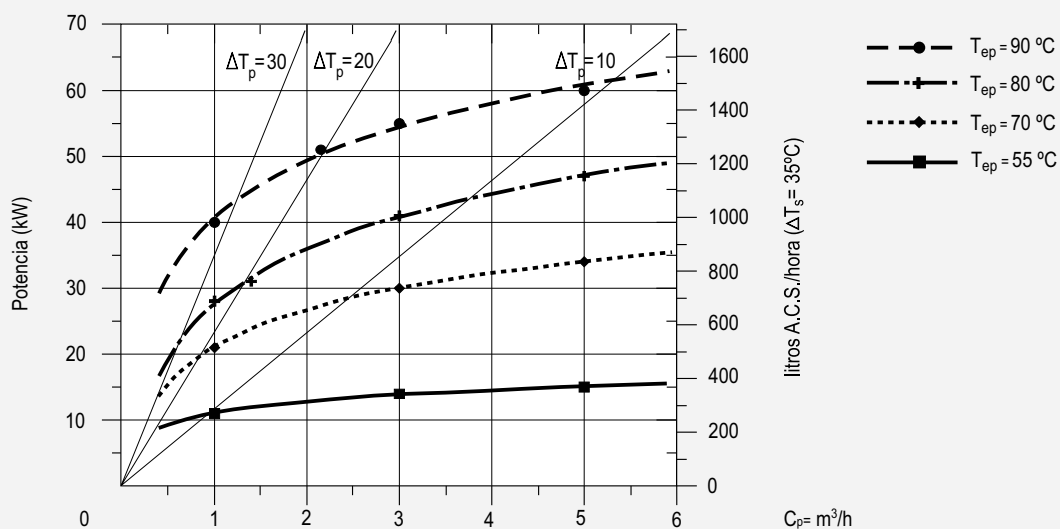
Pérdidas de carga entre conexiones de entrada y salida de circuito primario para diferentes caudales de circulación. Serpentin:



Doble pared:

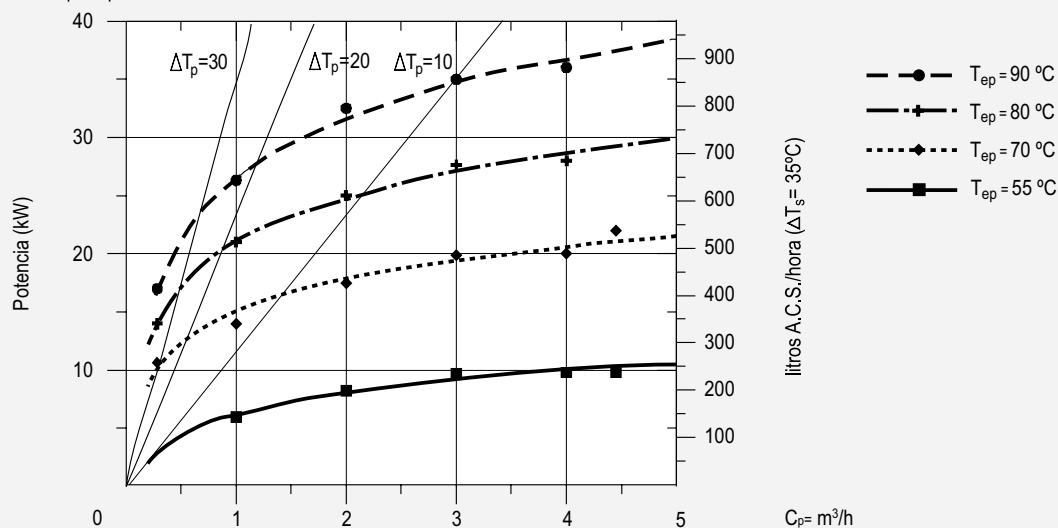


Curvas de potencia para diferentes caudales y temperaturas de circuito primario para producción de A.C.S. 10°C → 45°C. (Doble pared)

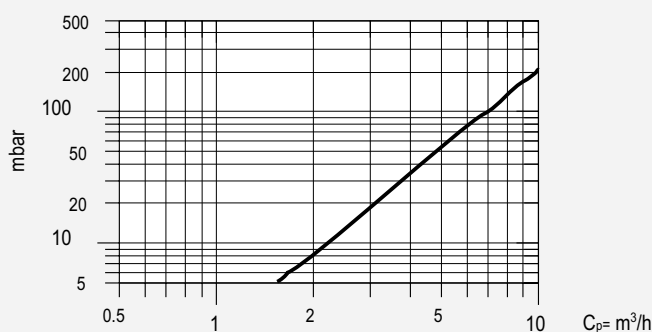


## Modelos: GX-400-PAC

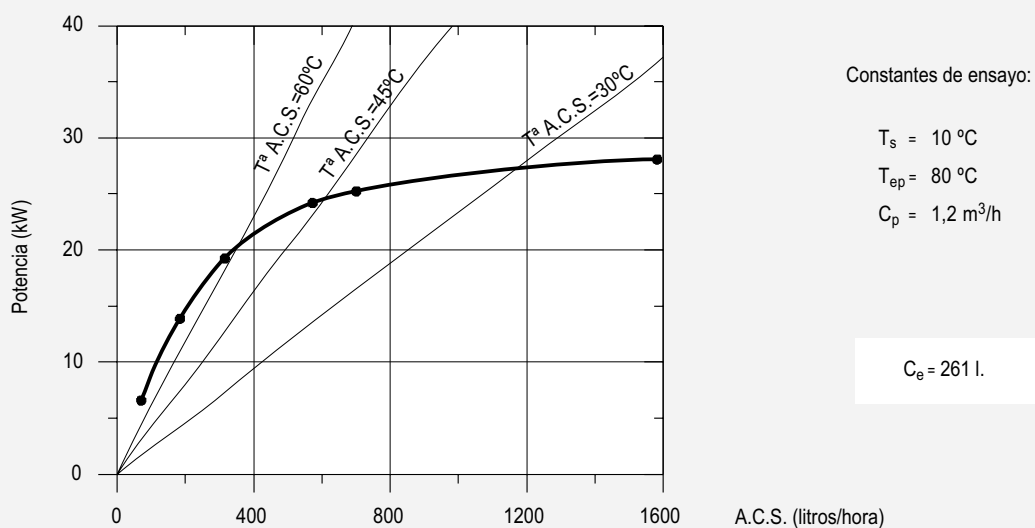
Curvas de potencia para diferentes caudales y temperaturas de circuito primario para producción de A.C.S. 10°C → 45°C.



Pérdidas de carga entre conexiones de entrada y salida de circuito primario para diferentes caudales de circulación.

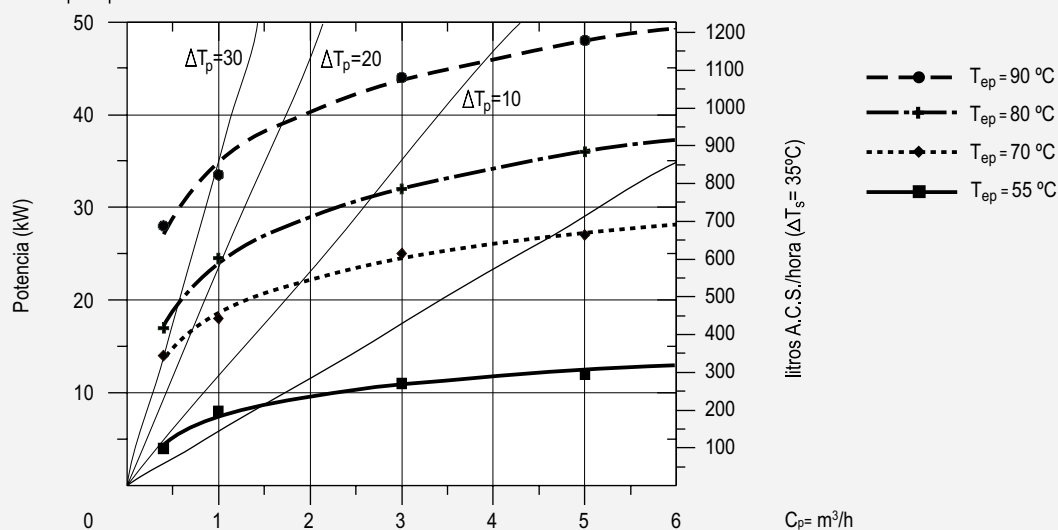


Curvas de producción continua de A.C.S. a diferentes temperaturas y caudal del circuito primario predeterminado para  $\Delta T_p = 20^\circ C$  y  $\Delta T_s = 30^\circ C$ .

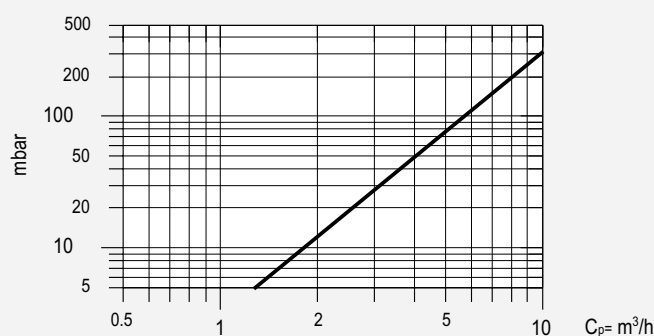


## Modelos: GX-600-PAC

Curvas de potencia para diferentes caudales y temperaturas de circuito primario para producción de A.C.S. 10°C → 45°C.



Pérdidas de carga entre conexiones de entrada y salida de circuito primario para diferentes caudales de circulación.



Curvas de producción continua de A.C.S. a diferentes temperaturas y caudal del circuito primario predeterminado para  $\Delta T_p = 20^\circ\text{C}$  y  $\Delta T_s = 30^\circ\text{C}$ .

